

ЧИСЛЕННОЕ ИССЛЕДОВАНИЕ РАСПРЕДЕЛЕНИЯ ПРИМЕСИ ПРИ ВЫРАЩИВАНИИ МОНОКРИСТАЛЛОВ МЕТОДОМ БРИДЖМЕНА С ПОГРУЖЕННЫМ НАГРЕВАТЕЛЕМ

А.И. Федюшкин, Н.Г. Бураго

Институт Проблем Механики РАН, г.Москва
(E-mail: fai@ipmnet.ru)

Абстракт

В данной работе приведены результаты численного моделирования конвективного теплообмена и распределения примеси в кристалле германия с примесью сурьмы при выращивании методом вертикальной направленной кристаллизации с погруженным нагревателем.

В основе математической модели лежат двумерные нестационарные уравнения Навье-Стокса. Решение данных уравнений осуществляется методом конечных элементов.

Приведены результаты параметрических расчетов для наземных и космических условий. Исследованы влияния скорости роста, геометрии, вращения и начального распределения концентрации на распределение примеси в кристалле. Численно найдены режимы выращивания кристаллов германия, при которых продольное распределение примеси практически постоянно. Найдены оптимальные режимы с вращением и без вращения для наиболее однородного радиального распределения примеси. Показана возможность получения в земных условиях более однородного распределения примеси, чем в условиях невесомости.

1. ВВЕДЕНИЕ

Распределение примеси в расплавах полупроводниковых материалов зависит от многочисленных условий роста, в том числе от геометрических, тепловых и динамических воздействий, таких, как конвекция (гравитационная и негравитационная), вращение, вибрация и др. Известно, что эти зависимости распределения примеси обладают сильной чувствительностью от перечисленных факторов, о чем написано во многих работах, (см., например [1-10]). Основная цель всех исследований такого рода заключается в том, чтобы научиться управлять факторами, влияющими на распределение примеси. Для грамотного управления теплообменом необходимо знать гидродинамические механизмы происходящие в расплаве и уметь их классифицировать. Классификация методов управления процессами гидромеханики теплообмена при выращивании кристаллов и некоторые результаты параметрических расчетов приведены в [1].

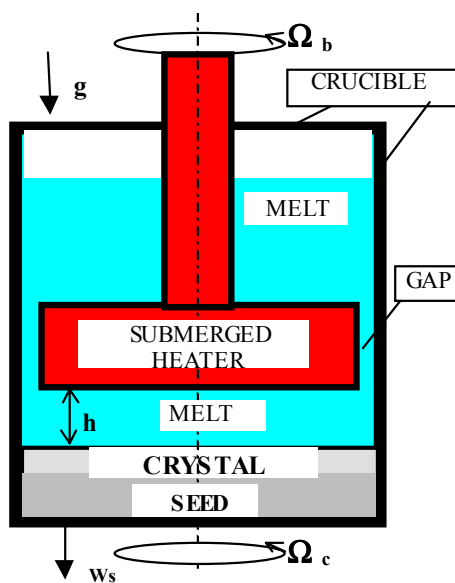


Рис 1 Схема установки метода Бриджмена с погруженным нагревателем

Настоящая работа посвящена численному исследованию влияния условий роста монокристаллов на продольное и поперечное распределение примеси при кристаллизации германия (Ge) легированного сурьмой (Sb) и галлием (Ga) методом Бриджмена с погруженным нагревателем [5,6]. Интерес к методу, являющимся, следуя классификации [1], совокупностью теплового и геометрического способов управления ростом кристаллов, обусловлен двумя причинами: с одной стороны он позволяет строго определять тепловые условия выращивания, что делает его перспективным для исследования процессов кинетики и механизма роста, с другой стороны использование метода позволяет выращивать монокристаллы в условиях подавленной естественной конвекции, получая на земле условия близкие к условиям микрогравитации.

Впервые работы по экспериментальному исследованию и численному анализу распределения примеси в объемных монокристаллах полупроводников в условиях подавленной естественной конвекции для наземных условий были выполнены А.Г.Острогорским с соавторами [4,8] и В.Д.Голышевым с соавторами [5-7]. Авторы использовали две модификации методов выращивания: метод погруженного нагревателя и метод погруженной перегородки. В своих исследованиях, посвященных условиям получения диффузионного режима переноса примеси, они пришли к выводу, что для примесей с величиной $k_0 > 0.1$ для наземных условий эти методы не обеспечивают диффузионного режима переноса. Однако выполненных ими исследований недостаточно для определения закономерностей и условий получения воспроизводимых результатов по переносу примеси вблизи фронта кристаллизации в процессе роста в условиях слабого течения расплава получаемого при использовании перегородки. Авторы работ [5,6] экспериментально исследовали влияние величины разницы начальной концентрации примеси (в верхней и в нижней частях области) на распределение примеси при разных скоростях выращивания кристалла и контроле температур на погруженном нагревателе.

В данной работе представлены результаты численного моделирования на основе решения нестационарных двухмерных уравнений Навье-Стокса и уравнений переноса тепла и массы [10] в цилиндрической области. Использование нестационарных уравнений позволило находить распределение примеси и в выросшем кристалле. Численное решение уравнений Навье-Стокса осуществлялось методом конечных элементов с использованием комплекса программ ASTRA [11-13].

Целью данной работы является исследование влияния на поперечное и продольное распределение примеси ряда факторов, таких как, начальные значения концентраций в разных частях расчетной области и граничные условия, скорость выращивания кристалла, геометрия и величина силы тяжести.

Численно показано существование и найдены значения оптимальных параметров роста кристаллов (с точки зрения однородности распределения примеси) для наземных условий. Исследования показали, что, управляя параметрами роста кристалла (тепловыми условиями, скоростью роста и начальным распределением концентрации примеси), можно получить однородное продольное или радиальное распределения примеси в кристалле.

2. ПОСТАНОВКА ЗАДАЧИ И МЕТОД РЕШЕНИЯ

2.1 Постановка задачи

На рис. 2 изображена схема расчетной области математической модели для метода Бриджмена с погруженным нагревателем, где приняты следующие обозначения:

- 1 - погруженный нагреватель,
- 2 - зона расплава над нагревателем,

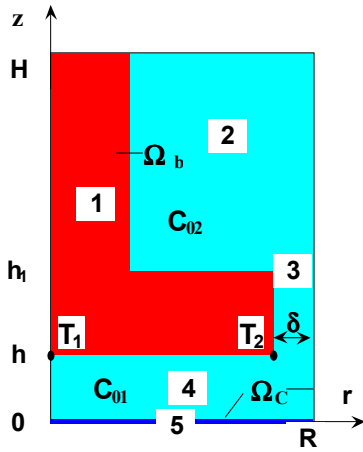


Рис.2. Схема расчетной области

3 - зазор между нагревателем и стенками тигля,
 4 - рабочая зона между кристаллом и нагревателем,
 5 - поверхность кристалла ($z=0$),
 R - радиус тигля, δ - величина зазора, h - высота рабочей зоны, Oz - ось симметрии, T_1 и T_2 характерные температуры нагревателя, C_{01} , C_{02} - начальные концентрации в нижней и верхней областях расплава, Ω_b и Ω_c - скорости вращения погруженного нагревателя и тигля с кристаллом, соответственно.

В модели приняты следующие предположения: расчетная область обладает цилиндрической симметрией, высота h рабочей зоны, скорость кристаллизации и тепловые условия в течение всего процесса кристаллизации остаются постоянными, фронт кристаллизации 5 - предполагается плоским.

Математическая модель основана на решении системы двухмерных нестационарных уравнений Навье-Стокса для несжимаемой жидкости в приближении Буссинеска, которые следующий вид:

$$\begin{aligned} \frac{\partial u}{\partial r} + \alpha \frac{u}{r} + \frac{\partial w}{\partial z} &= 0 \\ \frac{du}{dt} - \alpha \frac{v^2}{r} &= -\frac{1}{\rho_0} \frac{\partial p}{\partial r} + \frac{1}{r^\alpha} \frac{\partial}{\partial r} \left(r^\alpha v \frac{\partial u}{\partial r} \right) + \frac{\partial}{\partial z} \left(v \frac{\partial u}{\partial z} \right) - \alpha v \frac{u}{r^2} \\ \frac{dw}{dt} &= -\frac{1}{\rho_0} \frac{\partial p}{\partial z} + \frac{1}{r^\alpha} \frac{\partial}{\partial r} \left(r^\alpha v \frac{\partial w}{\partial r} \right) + \frac{\partial}{\partial z} \left(v \frac{\partial w}{\partial z} \right) + g\beta(T - T_0) \\ \frac{dv}{dt} + \alpha \frac{uv}{r} &= \alpha \left[\frac{1}{r} \frac{\partial}{\partial r} \left(rv \frac{\partial u}{\partial r} \right) + \frac{\partial}{\partial z} \left(v \frac{\partial u}{\partial z} \right) - v \frac{u}{r^2} \right] \\ \frac{d\rho c_p T}{dt} &= \frac{1}{r^\alpha} \frac{\partial}{\partial r} \left(r^\alpha \lambda \frac{\partial T}{\partial r} \right) + \frac{\partial}{\partial z} \left(\lambda \frac{\partial T}{\partial z} \right) \\ \frac{dC}{dt} &= \frac{1}{r^\alpha} \frac{\partial}{\partial r} \left(r^\alpha D \frac{\partial C}{\partial r} \right) + \frac{\partial}{\partial z} \left(D \frac{\partial C}{\partial z} \right) \end{aligned}$$

Граничные условия имеют вид:

на оси симметрии:

$$r = 0, \quad u = 0, \quad \frac{\partial w}{\partial r} = 0, \quad v = 0, \quad \frac{\partial T}{\partial r} = 0, \quad \frac{\partial C}{\partial r} = 0;$$

на поверхности кристалла:

$$z = 0, \quad u = 0, \quad w = -W_s, \quad v = 2\pi r \Omega_c, \quad T = T_m, \quad D \frac{\partial C}{\partial z} = W_s C (1 - k_0);$$

на стенке ампулы:

$$r = R, \quad u = 0, \quad w = 0, \quad v = 2\pi R \Omega_c,$$

$$\frac{\partial T}{\partial r} = 0 \quad (0 < z < h), \quad T = T_h \quad (h < z < H), \quad \frac{\partial C}{\partial r} = 0;$$

на погруженном нагревателе:

$$u = 0, \quad w = 0, \quad v = 2\pi r \Omega_b, \quad \frac{\partial C}{\partial n} = 0, \quad \frac{\partial T}{\partial n} = 0$$

(на нижней стенке нагревателя задавалась температура $T = T_b(r)$, где $T_b(r)$ линейная функция между значениями T_1 и T_2);

на верхней поверхности расплава:

$$z = H, \quad u = 0, \quad \frac{\partial w}{\partial z} = 0, \quad v = 0, \quad T = T_h, \quad C = C_0.$$

Начальные условия имеют вид:

$$u_{t=0} = 0, \quad v_{t=0} = 0, \quad w_{t=0} = 0, \quad T_{t=0} = T_m, \quad C_0 = C_0(z),$$

где приняты следующие обозначения: u и w - компоненты вектора скорости в направлении r и z , соответственно, v - азимутальная скорость, W_s - скорость кристаллизации, T - температура, C - концентрация, ρ - плотность, $a = \lambda / \rho c_a$ - теплопроводность, $a = \lambda / \rho c_p$ - температуропроводность, g - ускорение силы тяжести, β_T - коэффициент теплового расширения, ν - коэффициент кинематической вязкости, D - коэффициент диффузии, α - геометрический параметр, который равен 0 для плоской геометрии или 1 для осесимметричной цилиндрической геометрии, $C_0(z) = C_{01}$ - начальная концентрация под нагревателем ($0 < z < h$) и $C_0(z) = C_{02}$ - начальная концентрация над нагревателем ($z > h$).

Задача характеризуется следующими безразмерными параметрами подобия: числом Прандтля $Pr = \nu / a$, числом Рейнольдса $Re = W_s / \nu$, числом Грасгофа $Gr = g \beta_T \Delta \theta R^3 / \nu^2$ и числом Шмидта $Sc = \nu / D$, где $\Delta \theta = T_r - R$.

Для большинства случаев значения безразмерных параметров были равны: $Pr = 0.01$, $Re = 10^2 - 10^3$, $Gr = 10^2 - 10^6$, $Sc = 10$.

2.2 Метод решения.

Кратко наиболее существенные особенности используемого численного метода могут быть описаны следующим способом. Для типичного уравнения конвективного переноса

$$\frac{\partial A}{\partial t} + \mathbf{u} \cdot \nabla A = k \nabla^2 A + F$$

используется неявный вариационный самосопряженный метод Бубнова-Галеркина со следующей конечно-разностной схемой по времени:

$$\int_V \left(\frac{A^{n+1} - A^n}{\Delta t^n} + \mathbf{u}^n \cdot \nabla A^{n+1} \right) (\delta A + \Delta t^n \mathbf{u}^n \cdot \nabla \delta A) dV = \\ = \int_V (k_1 \nabla A^{n+1} \cdot \nabla \delta A + F^{n+1} \delta A) dV + \int_S k_n \cdot \nabla A^{n+1} \delta A dS,$$

для монотонизации численного решения здесь используется коррекция вязкости по А.А.Самарскому:

$$k_1 = k \left(1 + \frac{0.5 \max(Uh, U^2 \Delta t)}{k} \right) + 0.5 \max(Uh, U^2 \Delta t)$$

Используются линейные треугольные конечные элементы по пространству. Система линейных алгебраических уравнений решается нематричным методом сопряженных градиентов с преобуславливанием. Алгоритм безусловно устойчив, но для хорошей точности, шаг по времени не должен на много отличаться от значения временного шага, выбираемого из условия Куранта: $0.1 \Delta t_c < \Delta t^n < 10 \Delta t_c$, $\Delta t_c = \min(h_i / U_i^n)$.

Для решения уравнений несжимаемой жидкости реализовано четыре метода: 1 - метод штрафа, 2 - схема расщепления с коррекцией давления, 3 - решение уравнений Навь-Стокса в переменных вихрь-функция тока, 4 - метод Чорина с искусственной сжимаемостью. Для всех четырех используемых методов результаты находятся в хорошем соответствии. Все четыре алгоритма включены в гидродинамический пакет программ комплекса "ASTRA" для 2-ой и 3-ой геометрии.

В данной работе использовался метод 3 с переменными вихрь-функция тока. Для вычисления завихренности на твердой границе использовался итерационный метод верхней релаксации. Для определения распределения концентрации в кристалле

запоминалась история концентрации на фронте кристаллизации, которая потом пересчитывалась в концентрацию в кристалле по формуле $C_{cr}=k_o C$ (k_o - равновесный коэффициент распределения примеси).

2.3 Тестовые расчеты

В данной работе в качестве тестовых были проведены расчеты следующих трех задач: 1 - это задача о конвекции в квадратной области, подогреваемой сбоку и теплоизолированными горизонтальными стенками [14], 2 - тестовые расчеты вращательного течения задачи Виллера для метода Чохральского [], 3 - стационарная задача о распределении примеси в методе Бриджмена с погруженным нагревателем, опубликованной в работе А.Г.Острогорского [8]. Более подробно это сравнение опубликовано в [9].

В данном параграфе представим результаты первой тестовой задачи. Результаты третьей тестовой задачи обсуждены в работе [9] и частично представлены на рис. 4. Результаты решения первой тестовой задачи представлены на рис.3 и в таблице 1. В свое время данная задача являлась международным тестом, результаты более 30 авторов опубликованы в работе [14]. В этой же работе представлено наиболее точное решение, полученное экстраполированием на сетку с нулевым шагом решений, полученных конечно-разностным методом на разных сетках. В таблице 1 это решение названо “Эталон”.

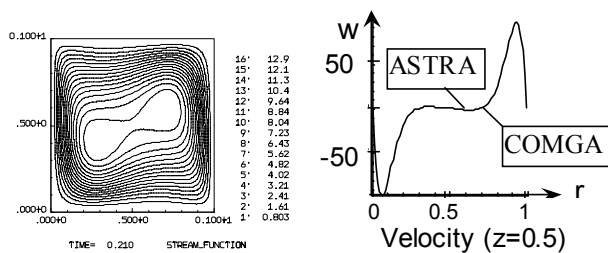


Рис. 3 Изолинии функции тока и профиль вертикальной компоненты скорости

На рис. 3 представлены изолинии функции тока и профиль вертикальной компоненты скорости в среднем горизонтальном сечении ($z=0.5$), полученные с помощью программы ASTRA на сетке 80×80 для первой тестовой задачи ($Ra=10^5$, $Pr=0.71$). Данная задача решалась в декартовых координатах, поэтому здесь r и z - это горизонтальная и вертикальная координаты.

В таблице 1 приведены значения максимума функции тока, максимумы горизонтальной и вертикальной компонент скорости в указанных средних сечениях, полученные для первой тестовой задачи ($Ra=10^5$, $Pr=0.71$)

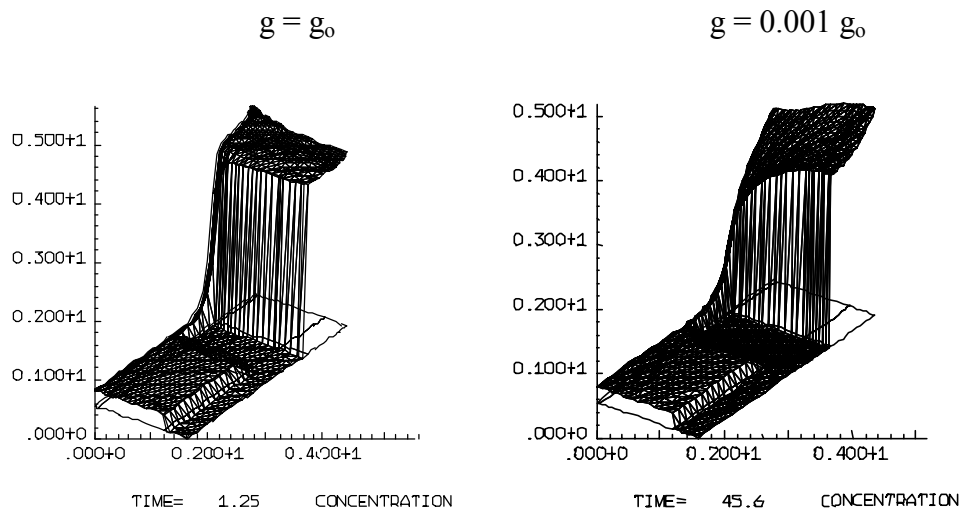
разными методами: “ASTRA” - решение получено конечно-элементным методом, описанным в п.2.2, с помощью программы ASTRA [11-13] на сетке 80×80 элементов, “COMGA” - решение получено конечно-разностным методом с помощью программы COMGA [15] на сетке 65×65 узлов. Сравнение результатов показывает, что максимальное отличие результатов “ASTRA” от “эталон” не более 1.2%, а “COMGA” от “эталон” не более 2.6%.

Таблица 1.

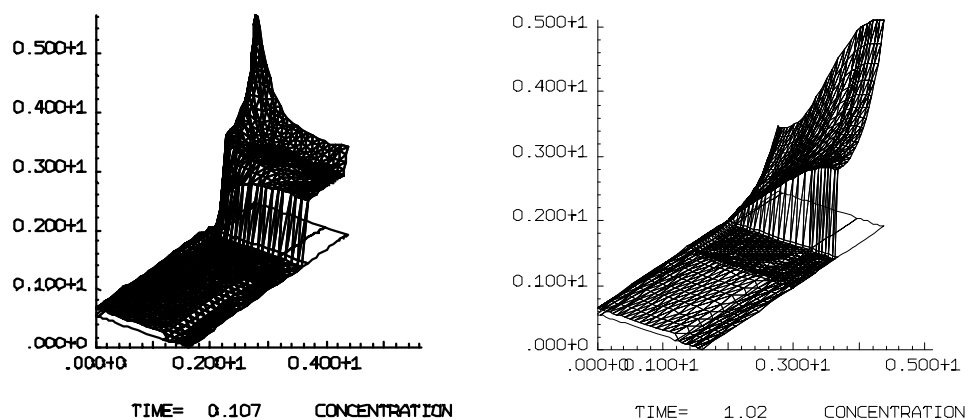
Метод	max Ψ	max $u_{r=0.5}$	max $w_{z=0.5}$
"ASTRA"	13.703	49.958	96.421
"COMGA"	13.479	48.30	94.95
"Эталон"	13.538	49.592	95.894

3. РЕЗУЛЬТАТЫ ПАРАМЕТРИЧЕСКИХ РАСЧЕТОВ

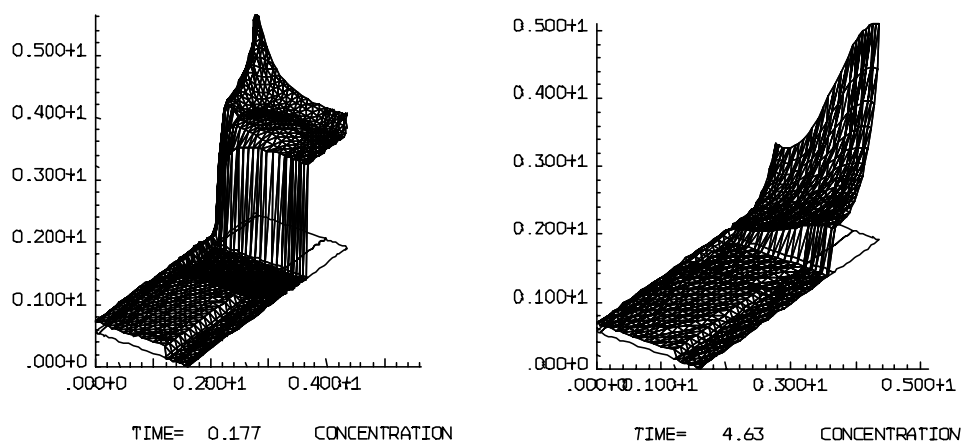
3.1 Влияние ускорения силы тяжести и скорости кристаллизации на распределение примеси



$$W_s = 0.36 \text{ см/час}$$



$$W_s = 1.8 \text{ см/час}$$



$$W_s = 3.6 \text{ см/час}$$

Рис. 4. Концентрация Ga в расплаве Ge в наземных условиях и в невесомости при разных скоростях роста кристалла ($g = g_0$ - левая колонка, $g = 0.001 g_0$ - правая колонка, $W_s = 0.36$ см/час - верхний ряд, 1.8 см/час - средний ряд, 3.6 см/час - нижний ряд)

При сравнении результатов расчета третьей тестовой задачи были использованы следующие исходные данные [8]:

Параметры геометрии: $R=1,6\text{см}$; $h=0,8\text{см}$; $\delta =0,05\text{см}$. Физические параметры: (расплав германия Ge с галлия Ga) : $\nu=0,00135\text{см}^2/\text{сек}$; $\alpha=0,175\text{см}^2/\text{сек}$; $\beta=0,000111\text{ 1/K}$; $D=0,0002\text{см}^2/\text{сек}$; $k_0=0,087$. Были рассмотрены следующие значения скоростей кристаллизации : $W_s = 0,36\text{см/час}$, $W_s=1,8\text{см/час}$ и $W_s =3,6\text{см/час}$ для $g=g_0$, и $g=0,001g_0$.

Прежде всего отметим, что в отличие от работы [8], здесь задача решалась в полном объеме с учетом нестационарных членов уравнений, содержащих производные по времени. Это позволило найти зависимости концентрации от времени.

Концентрации примеси в расплаве показаны на рис. 4. Данные результаты

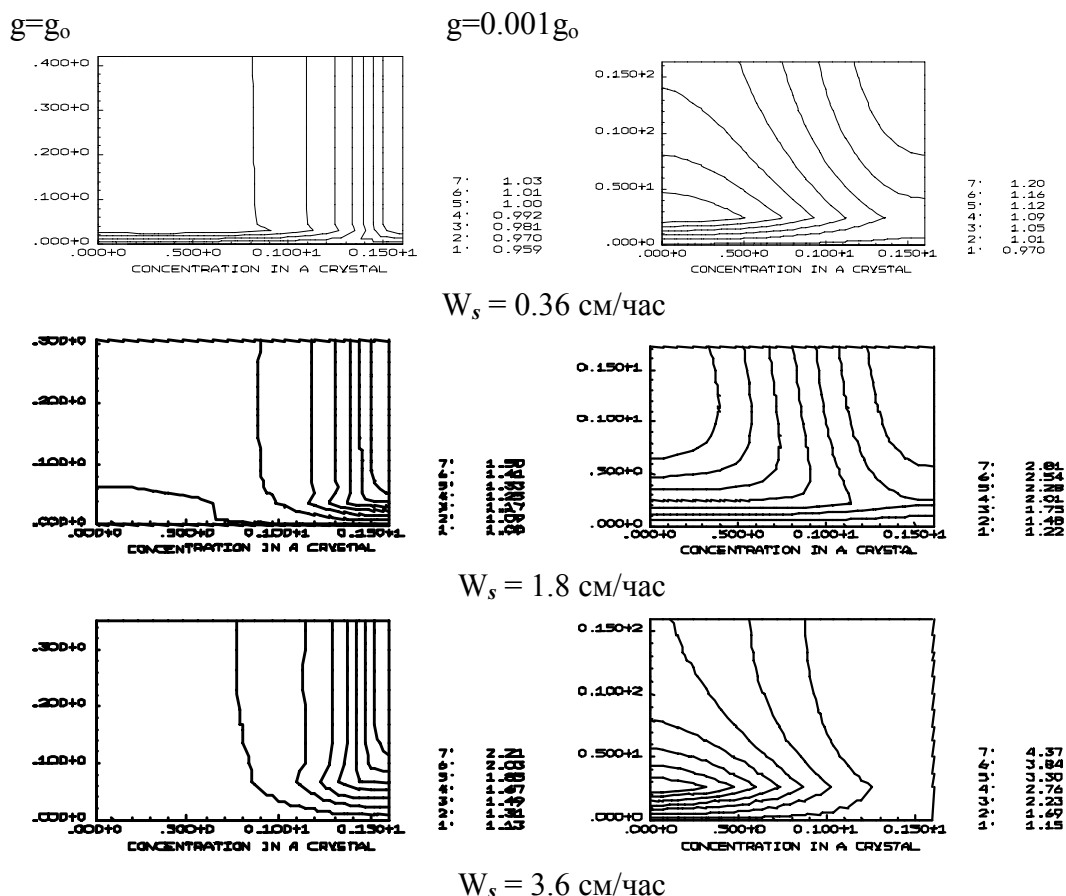


Рис.5 Распределение концентрации Ga в кристалле Ge для шести случаев, как функция скорости роста ($W_s = 0,36\text{ см/час}$ - верхний ряд, $1,8\text{см/час}$ - средний ряд, $3,6\text{см/час}$ - нижний ряд) и ускорения силы тяжести ($g= g_0$ - левая колонка и $g=0,001 g_0$ - правая колонка).

хорошо согласуются с соответствующими результатами авторов статьи [8]. Следует отметить только, что график, полученный в работе [8], соответствующий нижнему левому графику на рис.4, не содержит плато невозмущенного уровня концентрации в зоне расплава над нагревателем, которое здесь для стационарного состояния должно иметь высоту примерно k_0 от среднего уровня концентрации в расплаве на фронте кристаллизации. Можно предположить, что уровень концентрации для этого случая в работе [8] сильно завышен (как минимум раз в 10, поскольку плато не просматривается) или это ошибка построения аксонометрической проекции.

Как было показано в работе [9], структура и скорости конвективного течения устанавливаются за несколько минут, поле температур устанавливается за несколько секунд. Однако концентрация примеси постоянно меняется в течение всего процесса и для нее стационарного значения не существует (т.к. $k_0 \neq 1$), а существует

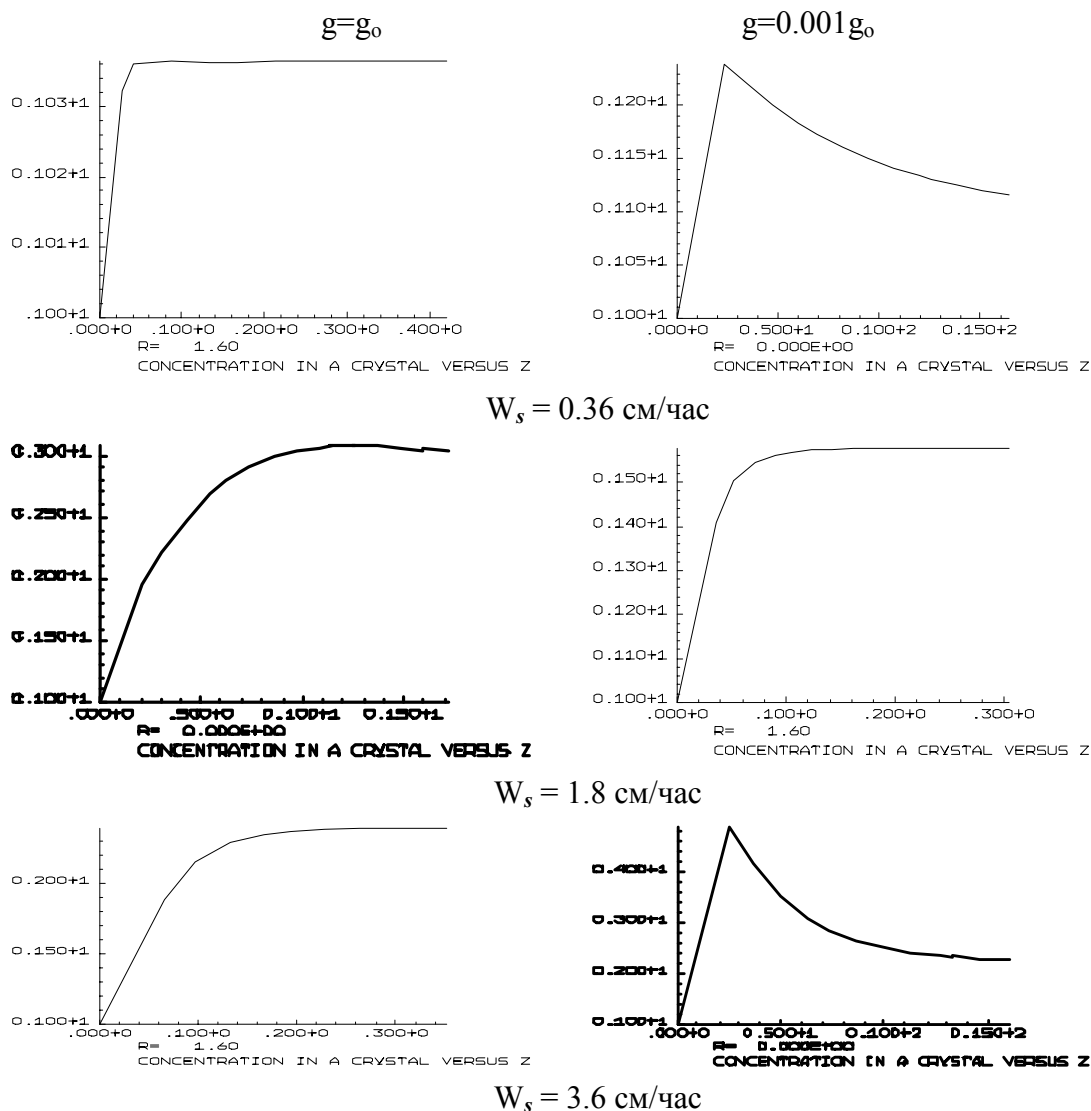


Рис.6 Продольное распределение (по времени) максимальной в поперечном сечении концентрации G_a в кристалле Ge для шести случаев: как функция скорости роста ($W_s = 0.36 \text{ см/час}$ - верхний ряд, 1.8 см/час - средний ряд, 3.6 см/час - нижний ряд) и ускорения силы тяжести ($g = g_0$ - левая колонка и $g = 0.001 g_0$ - правая колонка).

квазистационарный процесс, который наступает через несколько часов. Для случая тестовой задачи 3 на рис.5 показано распределение примеси в кристалле в зависимости от скорости роста и ускорения силы тяжести. Эти зависимости показывают, что даже в условиях слабой естественной конвекции, ее влияние на характер распределения примеси больше, чем влияние скорости кристаллизации.

3.2 Влияние начального распределения концентрации и величины зазора δ на распределение примеси

Кроме ускорения силы тяжести и скорости кристаллизации на распределение примеси оказывают температурные условия величина зазора δ и начальное распределение примеси. Для выявления влияния указанных параметров на распределение примеси в кристалле были проведены параметрические расчеты задачи, описанной в п.3.1 при следующих исходных данных: радиус тигля - $R=1,6 \text{ см}$; высота рабочей зоны - $h=0,8 \text{ см}$; температура кристаллизации - $T_0=936^\circ \text{C}$. Были просчитаны варианты, представленные в таблице 2, где первая колонка - номер варианта; δ -

величина зазора; Ws - скорость кристаллизации; C_{o1} - начальная концентрация под нагревателем ($0 < z < h$, область 4, см. рис.4) и C_{o2} - начальная концентрация над нагревателем ($z > h$, область 2); $sign dC/dt$ - знак производной концентрации по времени (длине кристалла) в указанной точке в момент времени $t = t_{max}$, указанный в последней колонке. В варианте #1 $T_1 = T_2 = 944^\circ\text{C}$ (на нагревателе поддерживалась постоянная температура), во всех других вариантах $T_1 = 942^\circ\text{C}$, $T_2 = 945^\circ\text{C}$; расплав германия Ge с примесью галлия Ga ($k_o = 0.087$); вариант #2 соответствует условиям пониженной гравитации ($g/g_o = 10^{-2}$), а вариант #3 невесомости ($g/g_o = 0$), во всех других вариантах

Таблица 2.

Таблица 2	δ	W_s	C_{o1}	C_{o2}	$sign dC/dt$	t_{max}
Вариант №	см	см/час	внизу	наверху	($r=1, z=0, t=t_{max}$)	час
$T_h = const$ 1	0,1	3,60	1	0,087	-	1,5
$g/g_o = 10^{-2}$ 2	0,1	1	1	0,087	-	4,7
$g/g_o = 0$ 3	0,1	1	1	0,1	+	3,29
4	0,1	0,01	1	0,087	-	8,2
5	0,1	0,01	1	0,5	-	0,47
6	0,1	10	1	0,087	-	1,32
7	0,1	10	1	0,87	-	1,11
8	0,1	1	1	0,87	+	1,29
9	0,1	1	1	0,2	+	1,11
10	0,1	1	1	0,087	-	1,38
11	0,1	1	1	0,1	0	1,09
12	0,1	3,6	1	0,1	-	1,16
13	0,1	0,5	1	0,087	-	1,12
14	0,05	0,5	1	0,087	-	0,938
15	0,05	3,6	1	0,087	-	0,5

ускорение силы тяжести равно ускорению силы тяжести Земли ($g/g_o = 1$).

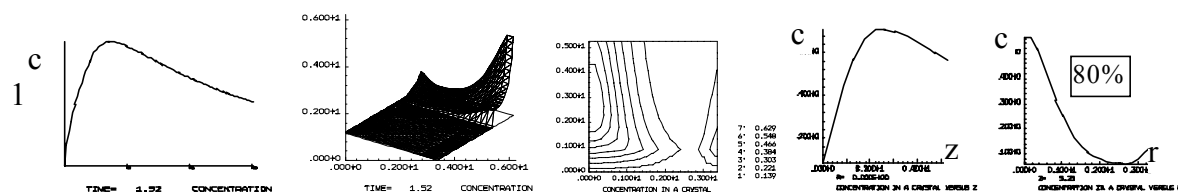
При такой постановке задачи интенсивность конвективного течения в области 4 может быть на 3-4 порядка меньше, чем в области 2 (рис.4), а при специальном подборе граничных условий по температуре естественная конвекция в области 2 может быть практически сведена до нуля. Следует отметить, во всех вариантах течение происходит в направлении по часовой стрелке.

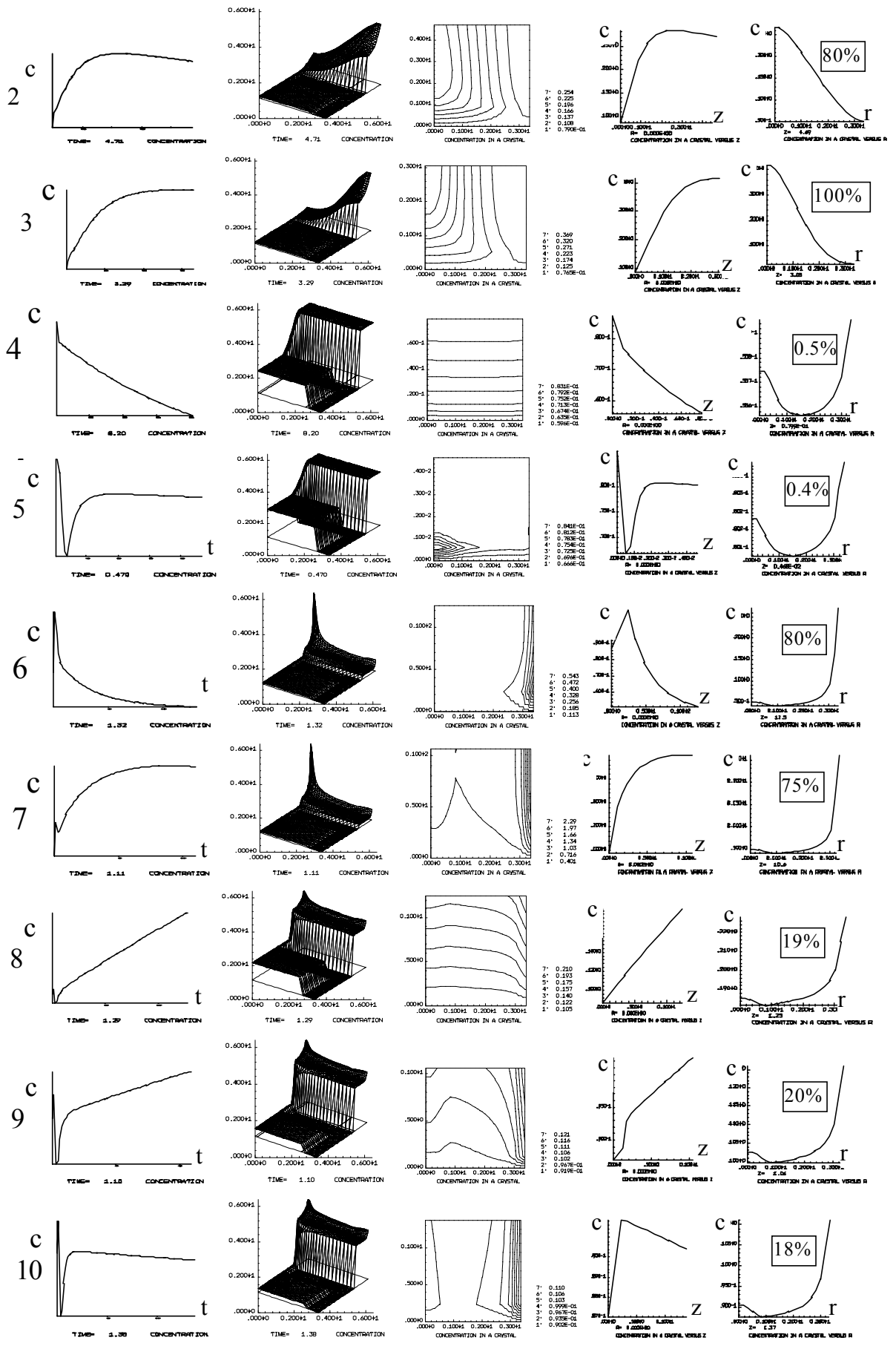
Направление течения можно поменять, если сделать $T_1 > T_2$.

Цель параметрических расчетов заключается в том, чтобы найти условия при которых продольное распределение примеси в кристалле будет постоянным при минимальной радиальной сегрегации.

При проведении параметрических расчетов были рассмотрены следующие диапазоны параметров: минимальная скорость роста кристалла $Ws = 0.01$ см/час - (варианты #4 и 5), максимальная скорость $Ws = 10$ см/час (варианты # 6 и 7); минимальное отношение концентраций $n = C_{o1} / C_{o2} = 1.667$ (варианты # 7 и 8), максимальное отношение концентраций $n = 16.67$ (варианты # 1,4,6,10,13,14,15); минимальный размер зазора $\delta = 0.05$ см (варианты # 14 и 15) во всех других вариантах $\delta = 0.1$ см; минимальное значение перегрузки $g/g_o = 0$ (варианты # 3), в варианте #2 $g/g_o = 10^{-2}$, во всех других вариантах $g/g_o = 1$.

На рис.8 представлены результаты параметрических расчетов, варианты которых указаны в таблице 2 (на рисунке нумерация вариантов слева).





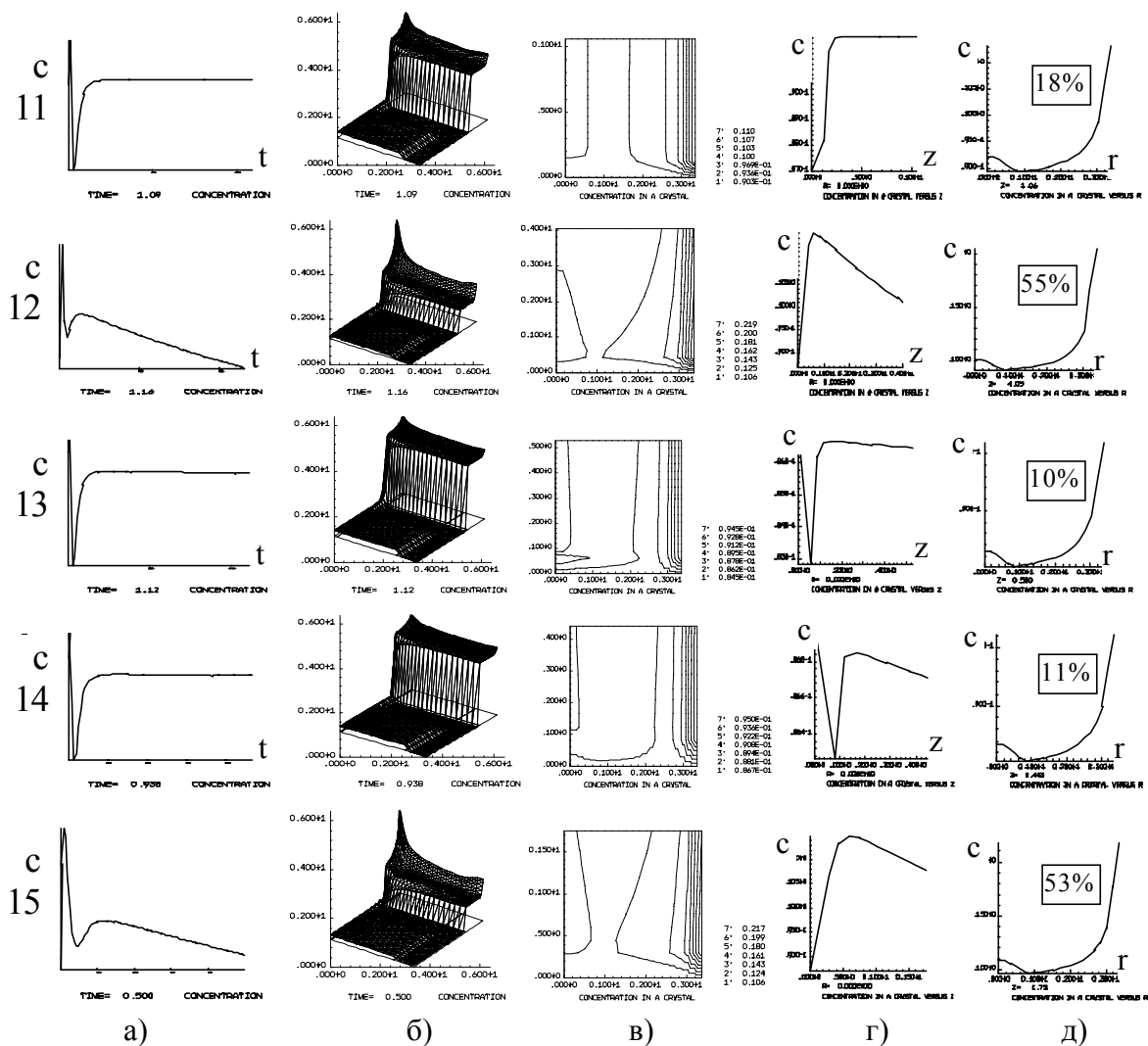


Рис. 7. Распределение примеси (Ga) в Ge в момент времени $t = t_{\max}$, результаты параметрических расчетов (номера вариантов из таблицы 2, указаны слева), а)- зависимости концентрации в расплаве от времени в точке ($r=1, z=0$) (на графиках t_{\max} соответствует точкам крайним справа), б)- аксонометрические проекции концентрации в расплаве ($t = t_{\max}$), в)- линии равных концентраций в кристалле ($t = t_{\max}$), г)- распределение примеси по длине кристалла ($r=0$), д)- радиальное распределение примеси ($t = t_{\max}$) (в процентах указана максимальная радиальная неоднородность).

Характерным распределением примеси при преобладании вынужденного течения являются случаи, изображенные на рис.7#1, 7#2, 7#3 (после знака # указан номер варианта (строки), обозначенный на рисунке слева). Все остальные варианты, изображенные на рис.7, можно отнести к случаю взаимодействия вынужденной и естественной конвекции. Сравнения численных результатов с экспериментальными данными [4-7] показали хорошую точность модели.

Продольное распределение примеси, изображенное на рис.3в, можно соотнести с рассчитанными данными, изображенными на рис. 7#10г. Следует отметить, что на рис.7#10г продольная неоднородность на всем выросшем кристалле не превосходит 5%. Продольные распределения концентраций, изображенные на рис. 7#9г (максимальная сегрегация 1.5%) и рис.7#10г (максимальная сегрегация 50%) имеют такой же характер распределения примеси, как и на рис.3в, но в этих вариантах отношение концентраций в верхней и нижней областях отлично от $n=16.67$, как это было в эксперименте. Обратим внимание на два момента, первый - это то, что в экспериментах, перед кристаллизацией расплав выдерживался несколько часов, а в

расчетах движение фронта начиналось сразу же с момента $t=0$, второй - это то, что в эксперименте в процессе роста высота h прикристалльной области 2 (рис.4) изменялась, а в расчетах она была постоянной.

Сравнивая результаты варианта #1 рис.7#1.б (постоянная температура основного нагревателя) и варианта #4 рис.7#3.б (невесомость) можно сделать вывод, что при выращивании кристаллов методом Бриджмена с погруженным нагревателем, управляя тепловым полем, можно на земле получить условия близкие к невесомости. Наличие слабой конвекции даже в случае варианта #1 можно видеть на рис.7#1.б в виде пика концентрации около стенки тигля в области 2, чего нет на рис.7#3.б.

Случай отсутствия естественной конвекции (рис.7#3) не является лучшим для метода с погруженным нагревателем, с точки зрения равномерного распределения примеси, вследствие того, что вынужденная конвекция (струя расплава из области 2 через зазор δ протекает в область 4), вызванная вытягиванием кристалла при неподвижном основном нагревателе, нарушает однородное распределение примеси в прикристалльной области. Слабая ($Ra > 1$) естественная конвекция (без вынужденной) также нарушает однородность расплава, так как примесь ($Sc = 10$) является очень чувствительной к конвективным течениям. Таким образом, существуют такие оптимальные условия, при которых струя расплава, поступающая из зазора δ будет компенсироваться подъемным течением, вызванным естественной конвекцией. Эти условия зависят от скорости кристаллизации, величины зазора δ , тепловых условий и начальных концентраций C_{o1} и C_{o2} . В процессе расчетов такие условия были найдены - это вариант #11 (рис.7#11).

Результаты параметрических расчетов, приведенные на рис.7, можно систематизировать следующим образом:

1. Концентрация по времени (по длине кристалла) на квазистационаре увеличивается ($dC/dt > 0$) в вариантах #3, 8 и 9, в варианте #7 - остается практически постоянной, во всех других вариантах она уменьшается ($dC/dt < 0$).
2. Слабое влияние величины зазора δ на распределение примеси можно видеть, сравнивая варианты #13 ($\delta = 0.1$) и вариант #14 ($\delta = 0.05$) при этом изменении δ скорость струи в зазоре увеличилась почти в два раза при той же скорости кристаллизации).
3. Влияние скорости роста Ws на распределение примеси можно видеть, сравнивая результаты в четырех группах вариантов: #4 ($Ws = 0.5$), #13 ($Ws = 0.5$), #10 ($Ws = 1$) и #6 ($Ws = 10$); #11 ($Ws = 1$) и #12 ($Ws = 3.6$); #8 ($Ws = 1$) и #7 ($Ws = 10$); а также варианты #14 ($Ws = 0.5$) и #15 ($Ws = 3.6$). При увеличении скорости роста радиальная неоднородность увеличивается - это видно на рис.7б и рис.7д.
4. Зависимость неоднородности распределения примеси от отношения начальных концентраций $n = C_{o1} / C_{o2}$ показывает сравнение результатов в следующих трех группах вариантов: #8 ($n = 1.667$), #9 ($n = 5$), #11 ($n = 10$) и #10 ($n = 16.67$); #5 ($n = 2$) и #4 ($n = 16.67$); #7 ($n = 1.667$) и #6 ($n = 16.67$). При увеличении значения n модуль производной dC/dt (или dC/dz) уменьшается (на квазистационаре, например, при $t = t_{max}$).
5. Влияние силы тяжести можно увидеть, сравнивая результаты вариантов #2 ($g/g_0 = 10^{-2}$), #4 ($g/g_0 = 0$) и #11 ($g/g_0 = 1$). В данном случае однородность лучше при $g/g_0 = 1$.
6. Сравнивая результаты вариантов #1 ($T_h = T_1 = T_2 = 944^\circ C = const$) и варианта #15 ($T_1 = 942^\circ C$, $T_2 = 945^\circ C$) можно видеть сильное влияние тепловых условий на поперечное и продольное распределение примеси.
7. Поперечная неоднородность минимальна в вариантах #4 и #5, максимальна в варианте #3, продольная неоднородность минимальна в варианте #11.

3.3 Влияние вращения на распределение примеси

Исследования влияния вращения погруженного нагревателя и ампулы с кристаллом на распределение примеси были выполнены при следующих значениях параметров: $W_s = 1 \text{ cm/hour}$, $C_{01} = C_{02} = 1$. Все другие параметры были такими же, как в предыдущем параграфе. Значения частот вращения погруженного нагревателя и ампулы с кристаллом приведены в таблице 3 (нумерация вариантов расчетов в этом параграфе своя по умолчанию с #1 по #12, при обращении к таблице 2 будет указано специально). В таблице 3 обозначено: N - номер вариантов, разность концентрации $\Delta C = \max_r(C(r, z=0)) - \min_r(C(r, z=0))$ и t_{\max} - максимальное время расчета.

Таблица 3. Перечень вариантов.

N	g/g ₀	Ω _b	Ω _c	f	ΔC	t _{max}
		rps	rps	Hz		Sec
1	1	0	0	0	0.198	3880
2	0	0	0	0	0.275	17100
3	1	0.05	0	0	0.263	5330
4	0	0.05	0	0	0.077	1940
5	1	0.3117	0	0	0.192	3650
6	0	0.3117	0	0	0.100	1030
7	1	0.6217	0	0	0.077	1410
8	1	0	0.3117	0	0.061	3640
9	1	0.05	0.3117	0	0.075	2310
10	1	-0.05	0.3117	0	0.049	3630
11	1	-0.3117	0.3117	0	0.054	2440
12	1	0.3117	0	0.68	0.279	1620

Случай отсутствия вращения и конвекции (невесомость).(вариант 2). В этом случае при $k_0 = 1$ и $C_{01} = C_{02}$ концентрация примеси не будет изменяться и будет наблюдаться всегда однородное распределение примеси. При $k_0 \neq 1$ до момента времени $t < \frac{h}{W_s}$ распределение примеси на фронте кристаллизации будет практически однородным, но с увеличением времени $t > \frac{h}{W_s}$ неоднородность будет возрастать и может быть существенной (рис.9б). В этом случае концентрация примеси больше у стенок тигля (под зазором 3 рис.2), чем в центре области.

Для выравнивания концентрации необходимо перемешивание расплава в нижней части расплава тигля под погруженным нагревателем. Это может быть естественноконвективное и/или вынужденное перемешивание, например вращение тигля или погруженного нагревателя.

Наличие конвекции без вращения (вариант #1). Естественная конвекция, как известно, выравнивает концентрацию в области около фронта кристаллизации. Этот случай был подробно рассмотрен в предыдущем параграфе для случаев $C_{01} \neq C_{02}$. На рис. 9а показаны изолинии концентрации примеси в кристалле для наземного случая ($g/g_0 = 1$). Видно, что в этом случае концентрация примеси больше в центре области, чем на периферии, не так, как было при $g/g_0 = 0$ (рис.9б). Здесь следует отметить, что в данном случае конвективный поток в области под нагревателем имеет направление по

часовой стрелке (такое же, как и в верхней части области). Очевидно, что это конвективное перемешивание не является оптимальным с точки зрения равномерного распределения примеси по радиусу кристалла. Расчеты показали, что, изменяя температуру на нижней части нагревателя, можно получить конвективный поток под ним другой интенсивности, другого направления и распределение примеси, как в условиях невесомости и более однородное.

Влияние вращения. (варианты #3 - #12) Естественноконвективное перемешивание, вращение тигля и вращение погруженного нагревателя создают разные структуры течения расплава. Так, например, только при вращении погруженного нагревателя, создаваемые потоки над ним и под ним имеют разные направления и интенсивности. На рис.5 показаны изолинии функций тока для случая без вращения (рис.5а) и с вращением погруженного нагревателя ($\Omega_b = 0.3117 \text{ gps}$) (рис.5б).

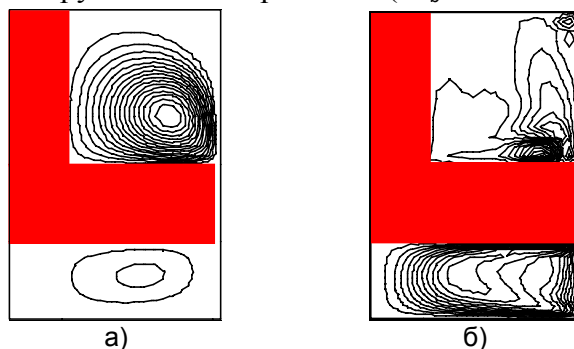


Рис.8 Изолинии функции тока при условии $g/g_0 = 1$.
 а) без вращения (вариант #1, см. таблицу 3),
 б) с вращением погруженного нагревателя (вариант #5).

Вращение тигля создает течение расплава, совпадающее по направлению с естественноконвективным течением. Вращение погруженного нагревателя создает под ним течение, противоположно направленное конвективному потоку. Следует отметить, что в подобласти над погруженным нагревателем конвективное течение и течение, вызванное вращением, имеют одинаковое направление и дополняют друг друга. В общем случае эти течения не складываются, а существуют отдельно, взаимодействуя друг с другом. Например, в структуре течения на рис. 8б визуально можно выделить потоки, создаваемые вращением и конвекцией. Их взаимодействие приводит к колебательному режиму течения расплава.

При вращении погруженного нагревателя, создаваемое им течение, противоборствует конвективному потоку в нижней подобласти около фронта кристаллизации. Управляя противоборством этих потоков у фронта кристаллизации, можно создать условия для наиболее однородного распределения примеси в кристалле. Вращение погруженного нагревателя приводит к распределениям примеси, показанным на рис. 10, 11 и 12а. Увеличение скорости вращения погруженного нагревателя приводит к выравниванию радиального распределения примеси (рис. 11).

Однако расчеты показали, что вращение тигля является более эффективным, чем вращение погруженного нагревателя. Это видно, если сравнить распределения примеси в кристалле при вращении погруженного нагревателя (рис. 12а) и при вращении тигля (рис. 12б). Видно, что более медленное вращение тигля приводят к более однородному распределению примеси в кристалле, чем при более быстром вращении погруженного нагревателя.

Однородность может быть улучшена, если применить одновременное вращение погруженного нагревателя и тигля (рис. 13а). Лучшая однородность распределения примеси наблюдается, если тигель и погруженный нагреватель вращаются в противоположные стороны (рис. 13б и рис.14а). Для лучшей однородности нагреватель не должен вращаться слишком быстро (рис.14а), поскольку при быстром вращении

течение расплава принимает колебательный характер, что негативно сказывается на однородности. Например, при частоте $\Omega_b = 0.6217\text{ rps}$ течение расплава имеет колебательный характер.

Иногда для гомогенизации расплава применяют осциллирующее или ускоренно-замедленное вращения. В данной работе были проведены расчеты с осциллирующим вращением погруженного нагревателя (с частотой вращения $\Omega_b = 0.05\text{ rps}$ и частотой осцилляций $f = 0.68\text{ Гц}$). Для данного случая распределение примеси в кристалле представлено на рис.14.б. Результаты расчетов осциллирующего вращения показали следующее, во-первых, то, что данные параметры не являются оптимальными с точки зрения однородности, а, во-вторых, осцилляции вращения погруженного нагревателя сказываются на распределении примеси. Другими словами кристалл "чувствует" осцилляции.

Однако, следует отметить, что для эффективного применения осциллирующих вращений, также как и вибраций необходимы дополнительные исследования этих видов течений.

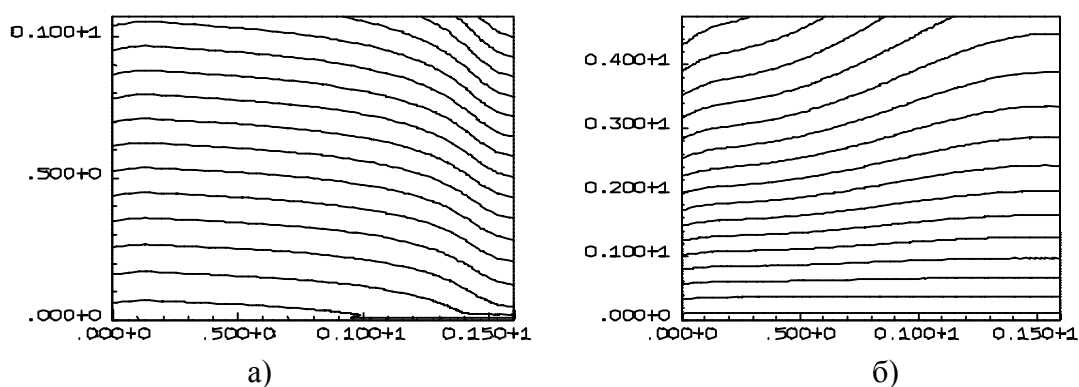


Рис. 9. Распределение примеси в кристалле без вращения.

а) на Земле $g/g_0 = 1$ (вариант #1), б) в невесомости $g/g_0 = 0$ (вариант #2).

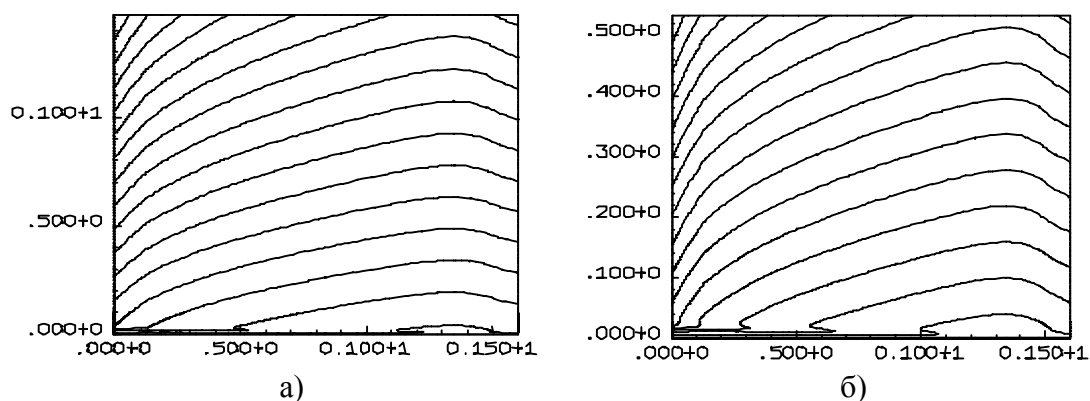


Рис.10 Распределение примеси в кристалле (варианты #3,4).

а) на Земле, вращающийся погруженный нагреватель $\Omega_b = 0.05\text{ rps}$;
 б) в невесомости, вращающийся погруженный нагреватель $\Omega_b = 0.05\text{ rps}$;

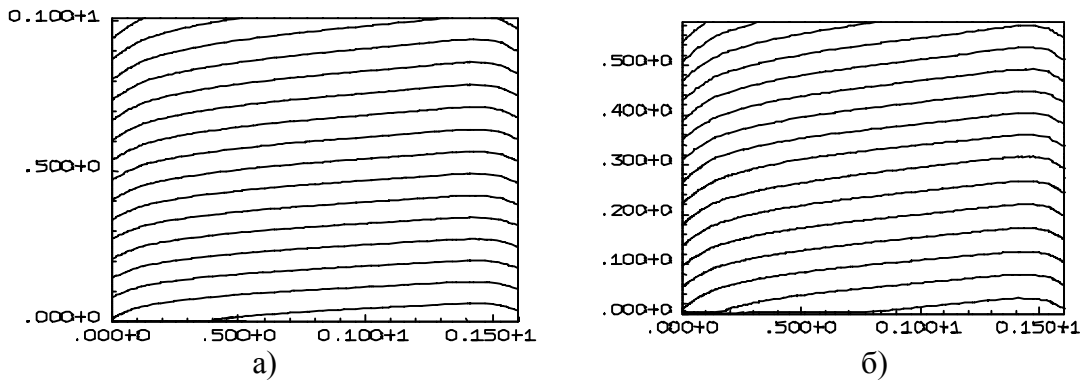


Рис.11 Распределение примеси в кристалле (варианты #5-6).

- а) на Земле, вращающийся погруженный нагреватель $\Omega_b = 0.3117\text{rps}$;
 б) в невесомости, вращающийся погруженный нагреватель $\Omega_b = 0.3117\text{rps}$;

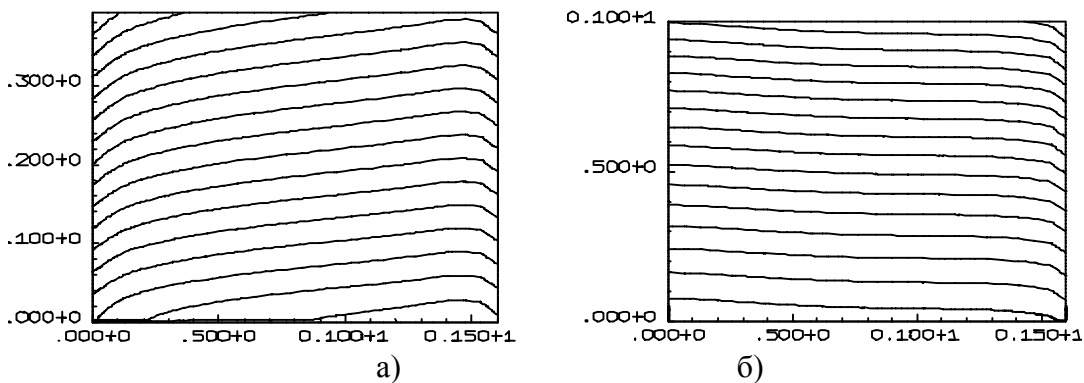


Рис.12 Распределение примеси в кристалле (варианты #7-8).

- а) На Земле, вращающийся погруженный нагреватель $\Omega_b = 0.6217\text{rps}$;
 б) На Земле, вращающийся тигель $\Omega_c = 0.3117\text{rps}$;

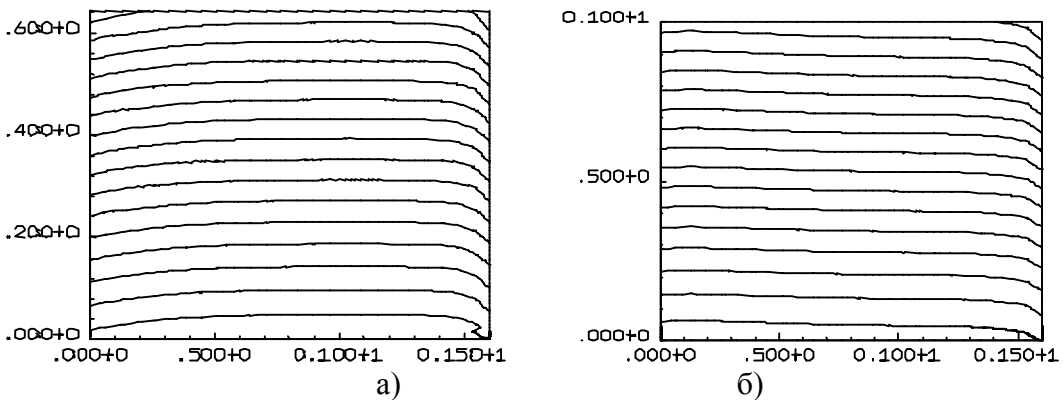


Рис.13 Распределение примеси в кристалле (варианты #9-10).

- а) на Земле, вращающийся погруженный нагреватель $\Omega_b = 0.05\text{rps}$ и тигель $\Omega_c = 0.3117\text{rps}$;
 б) на Земле, вращающийся погруженный нагреватель $\Omega_b = -0.05\text{rps}$ и тигель $\Omega_c = 0.3117\text{rps}$;

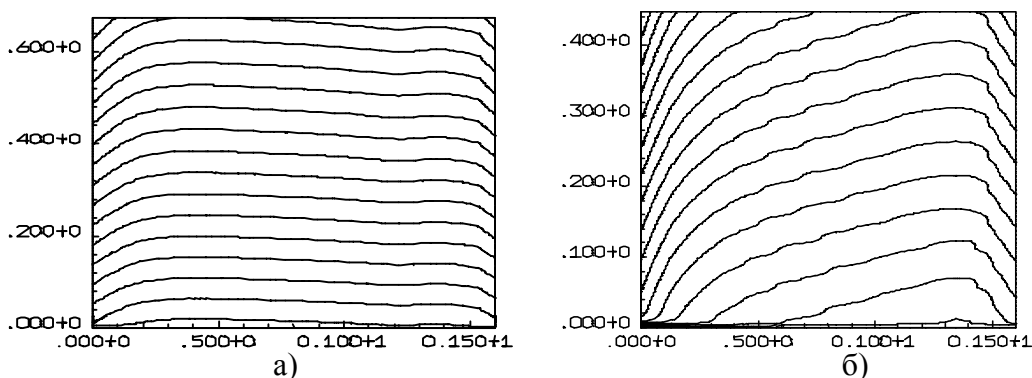


Рис.14 Распределение примеси в кристалле (варианты #11-12).

а) на Земле, вращающийся погруженный нагреватель $\Omega_b = -0.3117$ rps и тигель $\Omega_c = 0.3117$ rps ;

б) Осциллирующее вращение погруженного нагревателя с частотой $f=0,68$ Гц., на Земле, вращающийся погруженный нагреватель $\Omega_b = 0.05$ rps и тигель $\Omega_c = 0$.

4. ВЫВОДЫ

Сравнение результатов расчетов с тестовыми и с экспериментальными данными показало ее адекватность и эффективность данной математической модели при проведении многопараметрических расчетов.

Численно найдены режимы выращивания кристаллов германия с примесью Ga методом Бриджмена с погруженным нагревателем, при которых продольное распределение примеси практически постоянно (рис.7#11).

Показано влияние определяющих параметров на продольное и поперечное распределение примеси в кристаллах, выращиваемых методом Бриджмена с погруженным нагревателем.

Найдены оптимальные режимы с вращением и без вращения для наиболее однородного радиального распределения примеси. Показана возможность получения в земных условиях более однородного распределения примеси, чем в условиях невесомости.

5. ЛИТЕРАТУРА

1. V.I.Polezhaev Modeling of hydrodynamics, heat and mass transfer processes on the basis of unsteady Navier-Stokes equations. Applications to the material sciences at earth and under microgravity. Comput. Methods Appl. Mech. Eng. 115, 1994, 79-92
2. S.A.Nikitin, V.I.Poleshaev and A.I.Fedyushkin. Mathematical simulation in crystals prepared under microgravity conditions. J.Crystal Growth,52,(1981), pp.471-477.
3. E.V.Zharikov, L.V.Prihod'ko, N.R.Storozhev. Fluid flow formation resulting from forced vibration of a growing crystal. J.Crystal Growth,99,(1990), pp.910-914.
4. S.Meyer, A.G.Ostrogorsky. Forced convection in vertical Bridgman configuration with the submerged heater. J.Crystal Growth 171(1997) 566-576.
5. V.D.Golyshev, M.A.Gonik.Method of large single crystals growth from melt with given shape of melt-crystal interface. Hydromech. and heat/mass transfer in ace Congr., Moscow, August 16-17,1994,-Moscow,1991, pp.489-494.
6. V.D.Golyshev, M.A.Gonik.Terrestrial experimental research of new method features of large single crystal growth. In: Proc. Microgravity sci. and applications session, Int. Aerospace Congr., Moscow, August 16-17,1994,Moscow,1995, pp.167-171.
7. Н.Г.Бурого, В.Д.Голышев, М.А.Гоник, В.И.Полежаев, А.И.Федюшкин, В.Б.Цветовский. Характер вынужденной и естественной конвекции и его влияние на

- распределение примеси в кристалле при росте методом ОТФ1а. Александров. III Международная конференция "Кристаллы: рост, свойства, реальная структура, применение", г. Александров. Труды конференции, т.2, с.116-131, 1997.
8. A.G.Ostrogorsky, Z.Dragojlovic. Model of Convection and Segregation During Growth by the Submerged Baffle Method. In:Proc. Microgravity sci. and applications session, Intern. Aerospace Congr., Moscow, August 16 - 17 , 1994 , Moscow , 1995, pp 127-133
 9. N.G.Bourago, A.I.Fedyushkin, V.I.Polezhaev. Modelling of unsteady submerged heating crystal growth in ground-based and microgravity environment. Physical sciences in microgravity. Proceedings of joint Xth European and VIth Russian Symposium on Physical sciences in microgravity. St. Peterburg, Russia, 15-21 June 1997 , vol. II, pp.170-173, 1997.
 - 10.В.И.Полежаев и др. Математическое моделирование конвективного тепло и массообмена на основе уравнений Навье-Стокса. М.,Наука,1991.
 - 11.N.G.Bourago and V. N. Kukudzhanov, Numerical Simulation of Elastic Plastic Media by Finite Element Method, Preprint IPMech AS USSR, N.326, 1988, pp. 1-63.Second edition in "Computer Mechanics", issue 2, 1991,pp. 78-122.
 - 12.N.G.Bourago. Computer Code "ASTRA" for Non-linear Problems in Continuous Mechanics.in "Abstracts of 7th Nordic Seminar on Computational Mechanics", Trondheim, 1994.
 - 13.N.G.Bourago. Numerical methods for non-linear processes in elastic plastic media. in "Lechers of FEM-94 Seminar", Gothenberg, 1994, pp. 1-15.
 - 14.de Vahl Davis, I.P.Jones. Natural convection in square cavity: A comparison exercise. Intern. J. Numer. Meth. Fluids. 1983. Vol. 3, pp. 227-248.
 - 15.M.K.Ermakov, V.L.Griaznov, S.A.Nikitin et al. A PC-based System for Modelling Convection in Enclosures on the basis of Navier-Stokes Equations, Intern. Journal Numer. Methods in Fluids, 1992, v.15, pp.975-984.
 - 16.Willer ТЕСТ!!!!!!!